

01;07;11
 ©1995 г.

ВЗАИМОДЕЙСТВИЕ ИМПУЛЬСНОГО ЛАЗЕРНОГО ИЗЛУЧЕНИЯ С ПРИПОВЕРХНОСТНЫМ СЛОЕМ ЭЛЕКТРОНОВ ЭМИССИИ В ПРИСУТСТВИИ МАГНИТНОГО ПОЛЯ

A.B. Ивлев, M.A. Яковлев

Московский государственный технический университет им. Н.Э. Баумана,
 107005, Москва, Россия
 (Поступило в Редакцию 6 июня 1994 г.)

Получено аналитическое решение для задачи о прохождении электромагнитных волн через приповерхностный термоэлектронный слой при наличии постоянного поля и определена комплексная диэлектрическая проницаемость этой среды. Определены коэффициенты прохождения и отражения в зависимости от частотного диапазона, характеристик конденсированного вещества и магнитного поля. Показано, что существуют резонансные частоты, при которых амплитуда проходящих электромагнитных волн резко уменьшается.

При воздействии лазерных импульсов с длительностью в единицы и десятки пикосекунд и энергией в импульсе порядка нескольких джоулей на металлические мишени, в результате термо-или фотоэлектронной эмиссии над поверхностью материала возникает слой электронов эмиссии, а на поверхности эмиттирующей мишени создается нескомпенсированный положительный заряд, что в совокупности образует электронейтральную систему. При облучении материалов, имеющих низкую работу выхода, лазерными импульсами с подобными характеристиками электроны эмиссии могут образовывать слабонеидеальную систему, находящуюся в состоянии неполного термодинамического равновесия. В этом случае наличие собственной вязкости в термоэлектронном слое может оказывать заметное влияние на прохождение излучения сквозь него вглубь материала эмиттера. Кроме того, качественным образом меняется комплексная диэлектрическая проницаемость термоэлектронов и имеет место эффект отрицательной проводимости [1].

В данной работе рассматривается совокупное влияние постоянного магнитного поля B и термоэлектронного слоя на прохождение электромагнитного излучения в материал эмиттера и определяется тензор комплексной диэлектрической проницаемости данной системы.

Так же как и в [1], плоская монохроматическая волна падает справа на поверхность эмиттера с распределенным над ним термоэлектронным слоем (поперечный размер эмиттера предполагается значительно превышающим характерную толщину термоэлектронного слоя и длину волны излучения, что позволяет полагать задачу одномерной). Расположим систему координат таким образом, что оси x и y лежат на поверхности эмиттера, а ось z направлена перпендикулярно ему слева направо. При этом магнитное поле лежит в плоскости yz и образует угол θ с осью z . В силу того что толщина термоэлектронного облака весьма мала, будем считать, что поле B однородно. С учетом этого запишем исходную систему уравнений для области $z > 0$ [2–4]

$$mn\left(i\omega v_k + (dv_k/dz)v_z\right) = qn\left(E_k + [\mathbf{V}, \mathbf{B}]_k\right) + \eta\left(d^2v_k/dz^2\right) + (\zeta + \eta/3)\nabla_k\left(dv_z/dz\right), \quad (1)$$

$$\left(\epsilon'_{kl} - \delta_{kl}\right)E_l + i\left(qn/\epsilon_0\omega\right)v_k = 0, \quad (2)$$

$$d^2E_k/dz^2 - \nabla_k\left(dE_z/dz\right) + (\omega/c)^2\epsilon'_{kl}E_l = 0. \quad (3)$$

Здесь $k = x, y, z$; η и ζ — первая и вторая вязкости термоэлектронов; m и q — масса и заряд электрона, E_k — электрическое поле волны; $\mathbf{V} = (v_x, v_y, v_z)$ — вектор скорости; n — распределение термоэлектронов в области $z > 0$, имеющее вид

$$n(z) = n_0(1 + z/L)^{-h}, \quad (4)$$

где n_0 — приграничная концентрация термоэлектронов при $z = 0+$; $L \approx L_D$ — дебаевский радиус, соответствующий n_0 ; $h \approx 2$ [1].

В области $z < 0$, так же как и раньше, поле E имеет вид

$$E(z) = A \exp[ik_0\chi z]. \quad (5)$$

Здесь и далее $\chi = \tilde{n}_e - i\tilde{\chi}_e$ — комплексный коэффициент оптического преломления металла. В (1)–(3) учтено, что при наличии поля среды становится анизотропной, а тензор комплексной диэлектрической проницаемости ϵ'_{kl} — недиагональным.

Будем рассматривать высокочастотные волны, т.е. случай $\omega^2 \gg \omega_0^2$. Точно те же аргументы, что и в [1], позволяют в данном варианте пре-небречь в уравнении (1) слагаемым qnE_k . Далее, поскольку характерным масштабом изменения параметров среды является L , то и масштабом изменения скорости также будет L . Основываясь на этом, можно записать, что инерционный член в (1) $\equiv i\omega v_k \geq (v_k/L)v_0 \gg (v_kL)v_z \simeq (dv_k/dz)v_z \equiv$ конвективный член в (1) (v_0 — тепловая скорость термоэлектронов).

Оценки сделаны на основании того, что $\omega_0L \approx v_0$ (так как $L \approx L_D$) и что скорость упорядоченного движения v_k предполагается значительно меньше тепловой v_0 . Последняя оценка позволяет опустить в уравнении Навье–Стокса также и конвективный член. С учетом сделанных предположений уравнение (1) имеет следующий вид:

$$v''_x = L^2n\left[i(m\omega/\eta)v_x - (qB/\eta)\cos\theta v_y + (qB/\eta)\sin\theta v_z\right],$$

$$v_y'' = L^2 n \left[(qB/\eta) \cos \theta v_x + (m\omega/\eta) v_y \right],$$

$$v_z'' = L^2 n \left[-qB/(\zeta + 4\eta/3) \sin \theta v_x + im\omega/(\zeta + 4\eta/3) v_z \right]. \quad (6)$$

где $n = n_0(1 + \xi)^{-2}$, $v_k'' = d^2 v_k / d\xi^2$, $\xi = z/L$.

В распределении (4) для определенности взята степень $h = 2$, но при этом аналитическое решение исходной системы уравнений может быть получено для любого значения степени h .

Будем искать решение (6) в виде $v(\xi) \sim (1 + \xi)^g$. Определяющее уравнение имеет вид

$$(s - ir)^2 (\lambda s - ir) + \mu^2 \cos^2 \theta (\lambda s - ir) + \mu^2 \sin^2 \theta (s - ir) = 0. \quad (7)$$

Здесь $s = g(g - 1)$, $r = m\omega n_0 L^2 / \eta$, $\mu = qB n_0 L^2 / \eta$, $\lambda = \zeta / \eta + 4/3$. Это уравнение третьей степени по s . Не будем сейчас останавливаться на его общем решении. В области малых углов θ с точностью до членов $O(\theta^2)$ можно переписать (7) в виде

$$(\lambda s - ir) \left[(s - ir)^2 + \mu^2 (1 - (\lambda - 1)\theta^2) \right] = 0.$$

В области углов θ , близких к $\pi/2$, получаем с точностью до членов $O((\pi/2 - \theta)^2)$

$$(s - ir) \left[(s - ir)(\lambda s - ir) + \mu^2 \left(1 + (\lambda - 1)(\pi/2 - \theta)^2 \right) \right] = 0.$$

Не будем больше рассматривать промежуточные случаи и остановимся далее на двух крайних вариантах.

а) $\theta = 0$. Система (6) в этом случае приобретает вид

$$\begin{aligned} v_x'' &= (irv_x - \mu v_y)(1 + \xi)^{-2}, \\ v_y'' &= (\mu v_x + irv_y)(1 + \xi)^{-2}. \end{aligned} \quad (8a)$$

Скорость v_z в случае плоских волн, очевидно, тождественно равна нулю.

б) $\theta = \pi/2$. Система (6) приобретает вид

$$\begin{aligned} v_x'' &= (irv_x + \mu v_z)(1 + \xi)^{-2}, & v_y'' &= irv_y(1 + \xi)^{-2}, \\ v_z'' &= (-\mu/\lambda v_x + ir/\lambda v_z)(1 + \xi)^{-2}. \end{aligned} \quad (8b)$$

Уравнение (7) распадается и принимает вид

$$\theta = 0 : \quad \lambda s - ir = 0, \quad (s - ir)^2 + \mu^2 = 0; \quad (7a)$$

$$\theta = \pi/2 : \quad s - ir = 0, \quad (s - ir)(\lambda s - ir) + \mu^2 = 0. \quad (7b)$$

В (7b) корень $s = ir$ соответствует в (8b) уравнению для v_y , а два остальных — для v_x и v_z .

Для случая $\theta = 0$ (а) из (7а) получаем

$$g(g-1) = i(r-\mu),$$

$$g_{1,2} = 0.5 \left[1 \pm \sqrt{1 + 4in_0 L^2 / \eta(m\omega \pm qB)} \right]. \quad (9)$$

Индексы 1 и 2 соответствуют знакам + и - под корнем. Для того чтобы скорость была конечна во всем пространстве, необходимо для g_1 взять знак - перед корнем, а для g_2 знак -, если $\omega > \omega_H$, и +, если $\omega < \omega_H$, где $\omega_H = (qB)/m$.

Поле при $\xi \rightarrow \infty$ представим в виде

$$E_x(\xi) = \exp[i\beta\xi] + R_x \exp[-i\beta\xi],$$

$$E_y(\xi) = R_y \exp[-i\beta\xi]. \quad (10)$$

Границные условия для системы (1)–(3) имеют вид

$$E_k(-0) = E_k(+0), \quad dE_k/d\xi(-0) = dE_k/d\xi(+0),$$

$$v_k(-0) = v_k(+0), \quad \varepsilon'_{ik}(z) \Big|_{z>z_B} = \delta_{ik}. \quad (11)$$

Здесь z_B — правая граница термоэлектронного облака.

Решая (8а) и (3) совместно с (11), получаем выражения для приведенного коэффициента прохождения в область $z < 0$

$$\begin{aligned} A_x/A_{x0} &= 1 + 0.5 \left[\frac{\Theta_1}{1 - \Theta_1} + \frac{\Theta_2}{1 - \Theta_2} \right], \\ A_y/A_{y0} &= -0.5i \left[\frac{\Theta_1}{1 - \Theta_1} - \frac{\Theta_2}{1 - \Theta_2} \right]. \end{aligned} \quad (12)$$

Приведенный коэффициент отражения

$$\begin{aligned} R_x/R_{x0} &= 0.5 \left[\frac{1 - \Theta_1(J_1^+/J_1^-)(\chi + 1)/(\chi - 1)}{1 - \Theta_1} + \right. \\ &\quad \left. + \frac{1 - \Theta_2(J_2^+/J_2^-)(\chi + 1)/(\chi - 1)}{1 - \Theta_2} \right], \end{aligned} \quad (13)$$

$$\begin{aligned} R_y/R_{y0} &= -i \left[\frac{\Theta_1[1 - (J_1^+/J_1^-)(\chi + 1)/(\chi - 1)]}{1 - \Theta_1} - \right. \\ &\quad \left. - \frac{\Theta_2[1 - (J_2^+/J_2^-)(\chi + 1)/(\chi - 1)]}{1 - \Theta_2} \right]. \end{aligned} \quad (14)$$

Здесь

$$\Theta_{1,2} = \frac{(\varepsilon_M - 1)\beta(n_0/n_M)}{i(\chi + 1)} J_{1,2}^-, \quad J_{1,2}^{+-} = \int_0^\infty (1+t)^{g_{1,2}-2} \exp[\pm i\beta t] dt,$$

A_k и R_k — безразмерные амплитуды прошедшей и отраженной волн с учетом приповерхностных термоэлектронов; A_{k0} и R_{k0} — то же, но без учета термоэлектронов.

Из формулы (9) яствует, что в области $\omega \approx \omega_H$ наступает резонанс и слагаемое, соответствующее корню g_2 , асимптотически может уменьшить амплитуду проходящей волны в два раза. При граничной плотности $n_0 \sim 10^{26} \text{ м}^{-3}$ это соответствует значению магнитного поля B порядка нескольких единиц кТл. Это — очень сильное магнитное поле, но нам требуется, чтобы оно существовало только во время импульса облучения, и известен ряд способов получения сильных магнитных полей в течение короткого промежутка времени $\sim \tau_{\text{pulse}}$. Один из таких способов — пропускание импульса сильного тока через приграничный слой конденсированного вещества. Оценим величины необходимых для этого напряжений импульсного источника. При пропускании тока через тонкий слой толщиной δ магнитное поле вне слоя равно $B_{\text{pulse}} = 0.5\mu_0 j_{\text{pulse}}\delta$, где j_{pulse} — плотность импульсного тока. При толщине слоя $\delta \sim 10^{-2} \text{ м}$ необходимая плотность тока равна $\sim 10^{11} - 10^{12} \text{ А/м}^2$ и соответствующая ей напряженность электрического поля $E_{\text{pulse}} \sim 10^3 - 10^4 \text{ В/см}$. Сейчас существуют импульсные источники с напряжением $U_{\text{pulse}} \sim 10^6 \text{ В}$, и поэтому нет никаких видимых проблем с получением необходимых магнитных полей. Очевидно, за время $\tau_{\text{pulse}} \ll \tau$ (τ — время электрон-решеточной релаксации) пропускание импульсного тока также не вызовет нагрева и разрушения материала эмиттера. Таким образом, нет нужды рассматривать особую среду с малыми металлическими частицами, как это было в отсутствие поля, чтобы влияние термоэлектронного облака на прохождение излучения было заметным.

Перейдем теперь к определению тензора комплексной диэлектрической проницаемости ϵ'_{kl} . Прежде всего следует отметить, что, как и в обычной магнитоактивной плазме, поля по осям x и y не могут привести к поляризации по оси z и наоборот. Следовательно, компоненты тензора $\epsilon'_{xz} = \epsilon'_{zx} = \epsilon'_{yz} = \epsilon'_{zy} = 0$. Далее, совершенно очевидно, что направления по осям x и y совершенно равнозначны. Поэтому $\epsilon'_{xx} = \epsilon'_{yy}$ и $\epsilon'_{xy} = -\epsilon'_{yx}$. Таким образом, остаются неопределенными три компоненты тензора $\epsilon'_{xx}, \epsilon'_{xy}, \epsilon'_{zz}$. Первые две компоненты могут быть определены из уравнения (3) с точностью до следующего порядка малости по β :

$$\epsilon'_{xx} = 1 + \frac{(n_0/n_M)(\epsilon'_M - 1) \left[(1+\xi)^{g_1-2} [(1+\tilde{M})+i(1-\tilde{M})] + (1+\xi)^{g_2-2} [(1+\tilde{M})-i(1-\tilde{M})] \right]}{4(\cos \beta \xi + i \chi \sin \beta \xi)},$$

$$\epsilon'_{xy} = \frac{(n_0/n_M)(\epsilon'_M - 1) \left[(1+\xi)^{g_1-2} [(1-\tilde{M})-i(1+\tilde{M})] + (1+\xi)^{g_2-2} [(1-\tilde{M})+i(1+\tilde{M})] \right]}{4(\cos \beta \xi + i \chi \sin \beta \xi)}. \quad (15)$$

Здесь $\tilde{M} = (1-\Theta_2)/(1-\Theta_1)$.

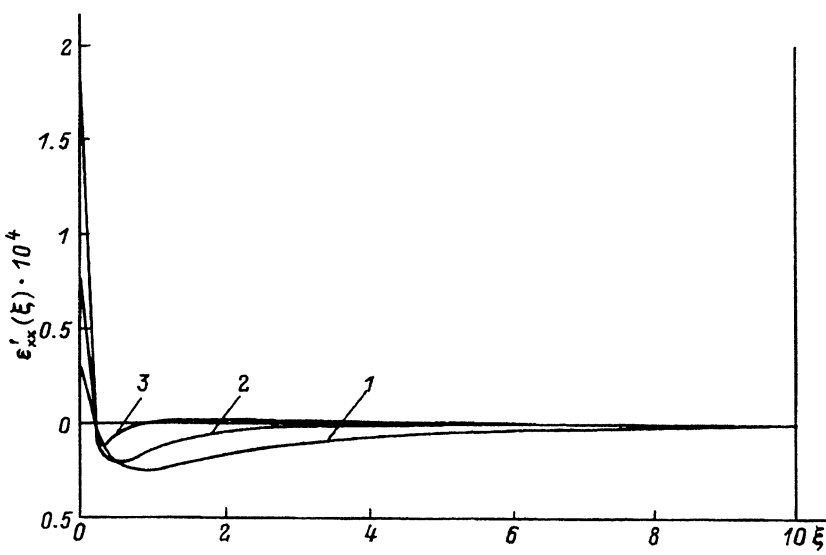


Рис. 1. Диэлектрическая проницаемость при $\omega/\omega_H = 1$ и $\omega/\omega_0 = 2$ (1), 4 (2), 10 (3).

Поскольку скорость v_z равна нулю, а из (3) следует, что $\epsilon'_{zz} E_z = 0$, то поле E_z равно нулю и определить ϵ'_{zz} -компоненту не представляется возможным. Но поскольку поглощение падающего излучения определяется диагональными компонентами тензора ϵ'_{kl} , то интерес представляет прежде всего его ϵ'_{xx} -компоненту. Графики действительной и мнимой частей ϵ'_{xx} представлены на рис. 1 и 2.

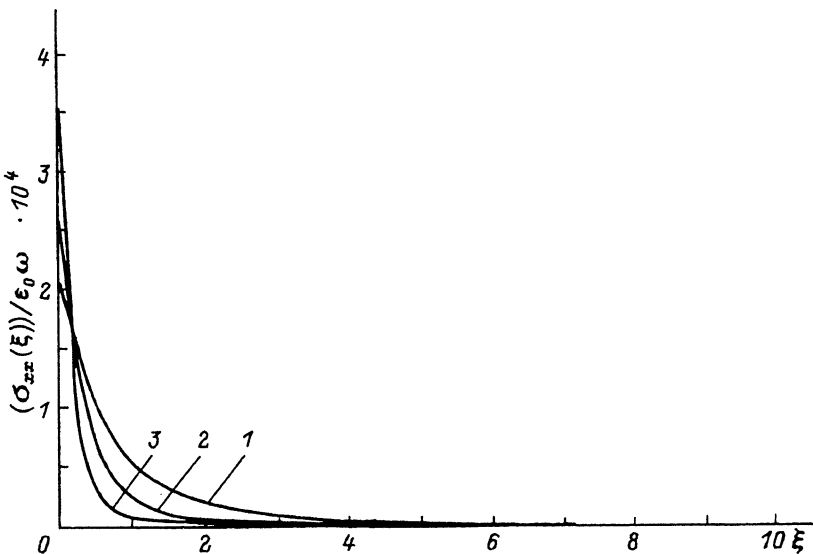


Рис. 2. Проводимость при $\omega/\omega_H = 1$ и $\omega/\omega_0 = 2$ (1), 4 (2), 10 (3).

В заключение отметим, что при устремлении B к нулю выражения (14), (15) естественно переходят в соответствующие выражения, полученные в [1]; при этом $g_1 = g_2$, $A_y = 0$, $R_y = 0$, $\varepsilon'_{xy} = 0$.

Для случая $\theta = \pi/2$ (б) из (86) получаем

$$g(g - 1) = i\mu \left[\pm p + w + r/(\lambda\mu) \right],$$

$$p = \frac{\sqrt{r^2(\lambda - 1)^2 + 4\lambda\mu^2}}{2\lambda\mu}, \quad w = r(\lambda - 1)/(2\lambda\mu),$$

$$g_{3,4} = 0.5 \left[1 \pm \sqrt{1 + 4i\mu(\pm p + w + r/(\lambda\mu))} \right]. \quad (16)$$

Здесь индекс 3 соответствует знаку + под корнем. Точно так же, как и в случае $\theta = 0$, для корня g_3 берется знак – перед корнем, а для корня g_4 надо взять знак –, если $\omega > \omega_H$, и +, если $\omega < \omega_H$.

При последующем расчете кроме прежних граничных условий используется условие неразрывности на границе $\xi = 0$

$$n_0 v_z = n_M v_{Mz}. \quad (17)$$

Кроме того, в случае $\theta = \pi/2$ следует учитывать направление поляризации падающей волны, поэтому в асимптотическое представление поля (10) для u -компоненты необходимо добавить слагаемое, соответствующее падающей волне. Опуская промежуточные вычисления, получаем выражение для приведенного коэффициента прохождения

$$A_x/A_{x0} = \left[1 - (p + w)/2p\Theta_3 \right]^{-1}, \quad (18)$$

где

$$\Theta_3 = \frac{(\varepsilon'_M - 1)\beta(n_0/n_M)}{i(\chi + 1)} \left[J_3^- + (p - w)/(p + w)J_4^- \right],$$

$$\varepsilon'_M = \varepsilon'_{Mxx} - \varepsilon'_{Mxy}\varepsilon'_{Myx}/\varepsilon'_{Mzz}.$$

Коэффициент A_y/A_{y0} равен найденному в [1] без учета магнитного поля, поскольку оно не оказывает никакого влияния на движение электронов вдоль своего направления.

В отличие от случая $\theta = 0$ в случае резонанса $\omega \approx \omega_H$ амплитуда волны E_x может неограниченно ослабевать при прохождении в область $\xi < 0$ и, когда материал эмиттера является хорошим проводником, коэффициент ослабления по амплитуде может достигать нескольких десятков, т.е. должна наблюдаться сильная экранировка поверхности материала вдоль направления поля B .

Относительный коэффициент отражения R_x/R_{x0} равен:

$$R_x/R_{x0} = \frac{2p/(p + w) - \Theta_3^+}{2p/(p + w) - \Theta_3^-}. \quad (19)$$

Здесь

$$\Theta_3^+ = \frac{(\varepsilon'_M - 1)\beta(n_0/n_M)}{i(\chi - 1)} \left[J_3^+ + (p - w)/(p + w)J_4^+ \right].$$

Коэффициент отражения R_y/R_{y0} также совпадает с найденным в [1].

Тензор ε'_{kl} имеет пять независимых компонент: $\varepsilon'_{xx}, \varepsilon'_{yy}, \varepsilon'_{zz}, \varepsilon'_{xz}, \varepsilon'_{zx}$.

(ε'_{yy} — компонента при этом равна комплексной диэлектрической проницаемости, определенной в [1]).

Относительно ε_{kl} следует сделать еще одно замечание. Поскольку силы вязкого трения есть поверхностные, а не объемные силы, то и комплексная диэлектрическая проницаемость определяется граничными условиями, накладываемыми на среду. В результате этого тензор ε'_{kl} в других координатах нельзя просто преобразовать с помощью матрицы перехода (скажем, нельзя получить компоненты тензора для случая $\theta = \pi/2$, преобразуя тензор ε'_{kl} при $\theta = 0$ с помощью матрицы поворота на угол $\pi/2$). Таким образом, термин “тензор” в данном случае можно употреблять лишь условно, поскольку объект ε'_{kl} тензором, строго говоря, не является.

Список литературы

- [1] Ивлев А.В., Павлов К.Б., Яковлев М.А. // ЖТФ. 1994. Т. 64. Вып. 9. С. 50–59.
 - [2] Гинзбург В.Л. Распространение электромагнитных волн в плазме. М.: Наука, 1967. 684 с.
 - [3] Ландау Л.Д., Либшиц Е.М. Гидродинамика. М.: Наука, 1988.
 - [4] Ландау Л.Д., Либшиц Е.М. Электродинамика сплошных сред. М.: Наука, 1992.
-